

NORGES TEKNISK-NATURVITENSKAPELIGE UNIVERSITET  
Institutt for fysikk

Faglig kontakt under eksamen:  
Ingjald Øverbø, tel. 73 59 18 67

**EKSAMEN I**  
**TFY4250 ATOM- OG MOLEKYLFYSIKK og**  
**FY2045 INNFØRING I KVANTEMEKANIKK**

Torsdag 18. desember 2003  
kl. 09.00 - 15.00

Tillatte hjelpeemidler: Godkjent kalkulator

Rottmann: Matematisk formelsamling

Øgrim & Lian: Størrelser og enheter i fysikk og teknikk

Oppgaveteksten er gitt på norsk side 1 – 5  
og på engelsk side 6 – 10.  
Et ark med uttrykk og formler er vedlagt (side *i*, helt til slutt).

Sensuren faller 19. januar 2004.

---

### **Oppgave 1**

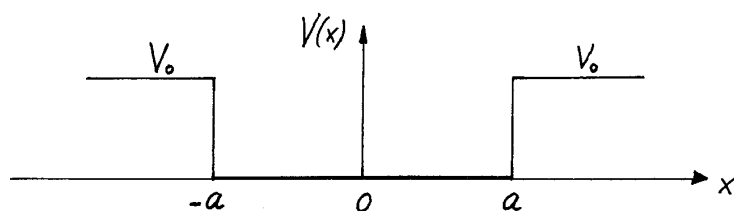
En partikkel med masse  $m$  beveger seg i et symmetrisk éndimensjonalt potensial,  $V(x) = V(-x)$ .

**a.** Anta at  $\psi(x)$  er en energiegenfunksjon med energi  $E$ . Forklar (med utgangspunkt i den tidsuavhengige Schrödingerligningen for dette systemet) hvordan  $\psi(x)$  *krummer*

- (i) i klassisk *tillatte* områder, hvor  $V(x) < E$ ,
- (ii) i klassisk *forbudte* områder, hvor  $V(x) > E$ ,

Hva kan du si om symmetriegenskaper og degenerasjon for bundne energiegentilstander i et slikt potensial? (Bevis kreves ikke.)

**b.**



Figuren viser en éndimensjonal potensialbrønn

$$V(x) = \begin{cases} 0 & \text{for } -a < x < a, \\ V_0 & \text{for } |x| > a. \end{cases}$$

Vis at en energiegentilstand med energi  $E < V_0$  må ha formen

$$\psi(x) = C e^{-\kappa x}, \quad \text{med } \kappa \equiv \frac{1}{\hbar} \sqrt{2m(V_0 - E)},$$

i området  $x > a$ . Definer (på passende måte) en *innstrengningsdybde*,  $l_{\text{p.d.}}$ , for det klassisk forbudte området  $x > a$ , og angi denne uttrykt ved  $\kappa$ .

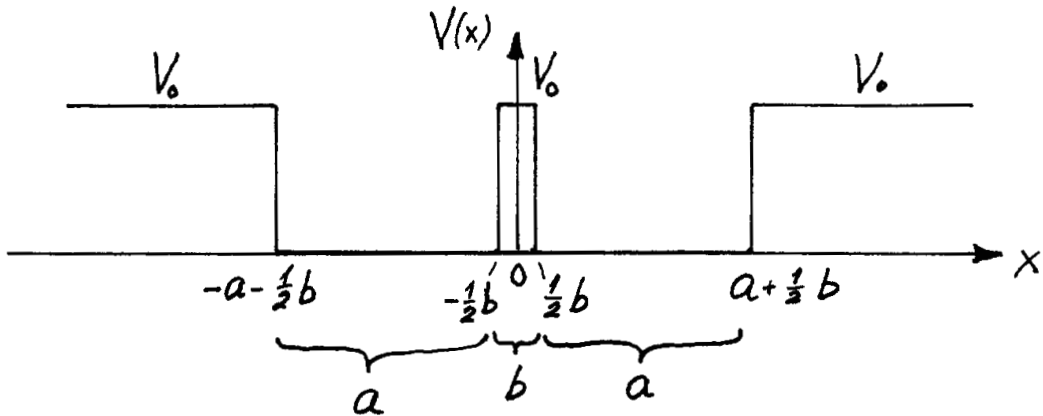
**c.** Anta at brønndybden  $V_0$  er så stor at det blir plass til et stort antall  $N$  ( $>> 1$ ) av bundne tilstander i brønnen. Det opplyses at dette krever at

$$N^2 < \frac{8mV_0a^2}{\pi^2\hbar^2} < (N + 1)^2.$$

Forklar hvorfor innstrengningsdybdene for grunntilstanden  $\psi_1(x)$  (med energi  $E_1$ ) og første eksiterte tilstand  $\psi_2(x)$  (med energi  $E_2$ ) da blir mye mindre enn lengden  $a$ . Forklar også hvorfor energien  $E_2$  blir tilnærmet fire ganger så stor som  $E_1$ . [Hint: Finn formen til  $\psi_1(x)$  og  $\psi_2(x)$  inne i brønnen, og lag omtrentlige skisser av de to funksjonene, for alle  $x$ .]

**d.** Anta nå at potensialet ovenfor modifiseres som vist i figuren nedenfor:

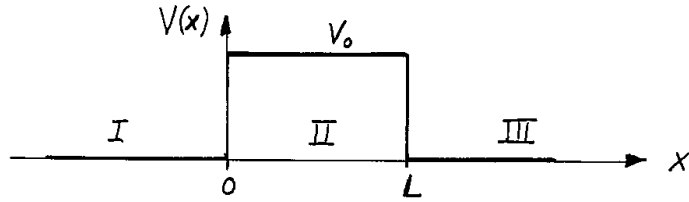
$$V(x) = \begin{cases} 0 & \text{for } \frac{1}{2}b < |x| < a + \frac{1}{2}b, \\ V_0 & \text{ellers.} \end{cases}$$



Dersom  $b$  velges liten i forhold til innstrengningsdybdene (inn i områdene  $|x| > a + \frac{1}{2}b$ ), vil energiene  $E_1$  og  $E_2$  endres *bare litt* i forhold til verdiene for  $b = 0$ . I hvilke *retninger* endres  $E_1$  og  $E_2$ ? [Hint: Forsök å skissere  $\psi_1$  og  $\psi_2$ , med utgangspunkt i krumningsegenkapene, bl.a i området  $|x| < \frac{1}{2}b$ .]

**e.** Skissér de to egenfunksjonene  $\psi_1$  og  $\psi_2$  når  $b$  gjøres mye *større* enn innstrengningsdybdene, og angi hvordan det går med de to energiene  $E_1$  og  $E_2$  i dette tilfellet.

## Oppgave 2



I dette éndimensjonale problemet spredes en strøm av partikler med masse  $m$  og energi  $E = \hbar^2 k^2 / 2m$  mot potensialet

$$V(x) = \begin{cases} 0 & \text{for } x < 0 \text{ og } x > L, \\ V_0 & \text{for } 0 < x < L. \end{cases}$$

Området II ( $0 < x < L$ ) utgjør en potensialbarriere eller en potensialbrønn, avhengig av om  $V_0$  er positiv eller negativ. Denne problemstillingen kan behandles vha en energieigenfunksjon  $\psi_E(x)$  som har formen

$$\psi_I(x) = e^{ikx} + r e^{-ikx} \quad \text{for } x < 0,$$

og

$$\psi_{III}(x) = t e^{ikx} \quad \text{for } x > L.$$

Her er  $r$  og  $t$  komplekse koeffisienter.

**a.** Beregn sannsynlighets-strømtettheten  $j_{III}$  for området  $x > L$ , uttrykt bl.a ved den komplekse koeffisienten  $t$ . Beregn også strømtettheten  $j_I$  i område I ( $x < 0$ ), uttrykt ved koeffisienten  $r$ . Vis at  $j_I = j_i + j_r$ . Her er  $j_i$  strømtettheten en ville finne fra den innkommende bølgen  $\exp(ikx) \equiv \psi_i$  alene, og  $j_r$  er strømtettheten en ville finne fra den reflekterte bølgen  $r \exp(-ikx) \equiv \psi_r$  alene.

**b.** Siden bølgefunksjonen  $\Psi_E(x, t) = \psi_E(x) \exp(-iEt/\hbar)$  er stasjonær kan det ikke skje noen opphopning av sannsynlighet noe sted. Hva kan du ut fra dette si om sammenhengen mellom  $j_I$  og  $j_{III}$ ? Hva kan du si om strømtettheten  $j_{II}$  i område II ( $0 < x < L$ )? Angi transmisjons- og refleksjonssannsynlighetene  $T$  og  $R$  uttrykt ved  $t$  og  $r$ .

**c.** Det kan vises at

$$t = e^{-ikL} \frac{2kq}{2kq \cos qL - i(k^2 + q^2) \sin qL},$$

der

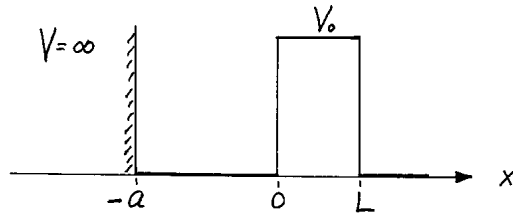
$$q = \begin{cases} \sqrt{2m(E - V_0)/\hbar^2} & \text{for } E > V_0, \\ i\sqrt{2m(V_0 - E)/\hbar^2} \equiv i\kappa & \text{for } E < V_0. \end{cases}$$

Bruk dette til å vise at transmisjonssannsynligheten er

$$T = \frac{4E(E - V_0)}{4E(E - V_0) + V_0^2 \sin^2 qL}.$$

Vis at resultatet for  $T$  stemmer med klassisk mekanikk i grensen  $E/|V_0| \rightarrow \infty$ . Fullstendig transmisjon kan også oppnås under andre betingelser. Hva er disse betingelsene?

**d.** I figuren nedenfor er potensialet ovenfor (med  $V_0 > 0$ ) modifisert, med en hard vegg i avstand  $a$  fra barrieren.



Anta at

$$V_0 = \frac{5\hbar^2}{8m_e a_0^2}, \quad L = 5a_0 \quad \text{og} \quad a = 2\pi a_0,$$

der  $a_0$  er Bohr-radien. Anta videre at et elektron med masse  $m_e$  stenges inne mellom veggen og barrieren, i en tilstand som ved  $t = 0$  kan karakteriseres ved en energi og en bølgefunksjon tilnærmet gitt ved

$$E = \frac{\hbar^2 k^2}{2m_e}; \quad k \approx \frac{\pi}{a}; \quad \Psi(x, 0) \approx \begin{cases} \sqrt{\frac{2}{a}} \sin[k(x + a)] & \text{for } -a < x < 0, \\ 0 & \text{ellers.} \end{cases}$$

Bredden av barrieren er  $5a_0$ . Halvklassisk kan vi beregne en hastighet  $v = \sqrt{2E/m_e}$  og en kollisjonsfrekvens  $\nu = v/2a$  med barrieren. Hvor lang tid  $\tau$  tar det ut fra denne tankegangen før sannsynligheten for å finne elektronet innestengt er redusert fra 1 til  $1/e$ ? [Hint: Transmisjonssannsynligheten ved hvert støt mot barrieren er gitt av formelen ovenfor, med  $q = i\kappa$ , dvs  $\sin qL = \sin i\kappa L = i \sinh \kappa L$ . Merk at  $\ln(1 - T) \approx -T$  for  $T \ll 1$ .]

### Oppgave 3

En partikkel med masse  $m$  er bundet i et kuleformet brønnpotensial

$$V(r) = \begin{cases} 0 & \text{for } r < a, \\ V_0 & \text{for } r > a. \end{cases}$$

For å forenkle beregningene antar vi at  $V_0$  er uendelig, slik at potensialet danner en kuleformet *boks*.

De simultane egenfunksjonene til Hamilton-operatoren  $\hat{H}$  og dreieimpulsoperatorene  $\hat{\mathbf{L}}^2$  og  $\hat{L}_z$  kan skrives på formen

$$\psi_{nlm_l}(r, \theta, \phi) = \frac{u_{nl}(r)}{r} Y_{lm_l}(\theta, \phi),$$

der

$$\hat{\mathbf{L}}^2 Y_{lm_l} = \hbar^2 l(l+1) Y_{lm_l} \quad \text{og} \quad \hat{L}_z Y_{lm_l} = \hbar m_l Y_{lm_l},$$

og

$$\left[ -\frac{\hbar^2}{2m} \frac{d^2}{dr^2} + \frac{\hbar^2 l(l+1)}{2mr^2} \right] u_{nl}(r) = E_{nl} u_{nl}(r), \quad (0 \leq r < a).$$

Det kan vises at de akseptable løsningene av radial-ligningen går som  $u_{nl}(r) \sim r^{l+1}$  når  $r \rightarrow 0$ . Kvantetallet  $n$  angir i denne problemstillingen antall nullpunkter for funksjonen  $u_{nl}(r)$ , når vi tar med nullpunktet for  $r = a$ , men holder nullpunktet i origo utenfor.

**a.** Hvilke betingelser må være oppfylt for at et sett av operatorer skal kunne ha et simultant sett av egenfunksjoner (slik  $\hat{H}$ ,  $\hat{\mathbf{L}}^2$  og  $\hat{L}_z$  har)?

Hvor mange vinkelfunksjoner  $Y_{lm_l}$  finnes det for et gitt dreieimpulskvantetall  $l$ ?

Hvordan kan en se (av ligningene ovenfor) at energienverdiene ( $E_{nl}$ ) i denne problemstillingen er uavhengige av kvantetallet  $m_l$ ?

Argumentér for at  $u_{nl}(r)$  må være lik null for  $r = a$ . Vis at  $\psi_{nlm_l}(r, \theta, \phi)$  er normert, forutsatt at  $u_{nl}(r)$  og  $Y_{lm_l}(\theta, \phi)$  oppfyller betingelsene

$$\int_0^a [u_{nl}(r)]^2 dr = 1 \quad \text{og} \quad \int |Y_{lm_l}(\theta, \phi)|^2 d\Omega = 1.$$

**b.** Finn de normerte  $s$ -bølge-løsningene  $u_{n0}(r)$ , de tilhørende egenfunksjonene  $\psi_{n00}$ , samt energiene  $E_{n0}$ .

**c.** Lag en rask skisse av potensialbrønnen, sammen med centrifugalbarriieren  $\hbar^2 l(l+1)/2mr^2$  som inngår i radialligningen, for to  $l$ -verdier,  $l = 1$  og  $l = 2$ . Om vi holder  $n$  fast og lar  $l$  variere, hvilken verdi av  $l$  må en ut fra skissen vente gir den laveste energien  $E_{nl}$ , den nest laveste, osv.? (Angi rekkefølgen.)

Hvilken rekkefølge må en vente å finne for energiene  $E_{nl}$  for en fastholdt  $l$  og varierende  $n$ ?

Hvilken kombinasjon av  $n$  og  $l$  må en vente å finne for grunntilstanden?

**d.** Resultatene under **c** kan kontrolleres (et lite stykke på vei) ved å løse radialligningen for  $l = 1$ , som tar formen

$$\frac{d^2 u}{dr^2} - \frac{2}{r^2} + k^2 u = 0, \quad \text{med} \quad k \equiv \frac{1}{\hbar} \sqrt{2mE}.$$

Ved innsetting er det lett å kontrollere at denne oppfylles av

$$u_a = \frac{\sin kr}{kr} - \cos kr \quad \text{og} \quad u_b = -\frac{\cos kr}{kr} - \sin kr.$$

(Dette skal du ikke vise.) Vis at bare den ene av disse oppfører seg slik  $u(r)$  skal for små  $r$ . Vis også at funksjonen med korrekt oppførsel for små  $r$  gir en akseptabel løsning for  $u(r)$  for hver  $k$ -verdi som tilfredsstiller betingelsen

$$\tan ka = ka.$$

**e.** Forsøk, på basis av resultatene i **c** og **d**, å finne et tilnærmet resultat for første eksiterte energinivå for denne kuleformede boksen.

## Question 1

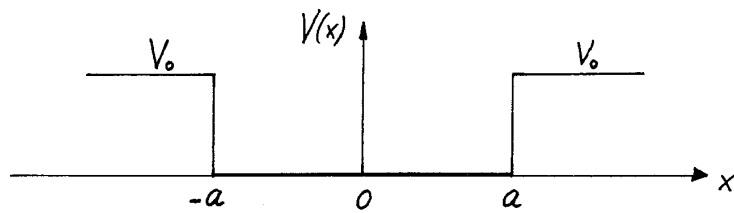
A particle with mass  $m$  moves in a symmetric one-dimensional potential,  $V(x) = V(-x)$ .

**a.** Suppose that  $\psi(x)$  is an energy eigenfunction with energy  $E$ . Explain (starting from the time-independent Schrödinger equation for this system) how  $\psi(x)$  curves

- (i) in classically *allowed* regions, where  $V(x) < E$ ,
- (ii) in classically *forbidden* regions, where  $V(x) > E$ ,

What can you say about symmetry properties and degeneracy for bound energy eigenstates in such a potential? (No proofs required.)

**b.**



The figure shows a one-dimensional potential well

$$V(x) = \begin{cases} 0 & \text{for } -a < x < a, \\ V_0 & \text{for } |x| > a. \end{cases}$$

Show that an energy eigenstate with energy  $E < V_0$  must have the form

$$\psi(x) = C e^{-\kappa x}, \quad \text{with } \kappa \equiv \frac{1}{\hbar} \sqrt{2m(V_0 - E)},$$

in the region  $x > a$ . Define (in a suitable way) a *penetration depth*,  $l_{\text{p.d.}}$ , for the classically forbidden region  $x > a$ , and find it, expressed in terms of  $\kappa$ .

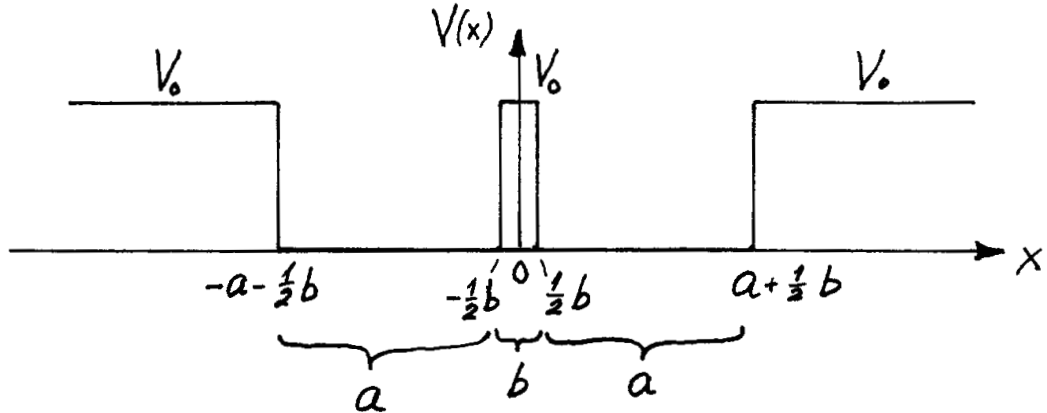
**c.** Assume that the depth  $V_0$  of the well is so large that the well contains a large number  $N (>> 1)$  of bound states. It can be shown that this requires that

$$N^2 < \frac{8mV_0a^2}{\pi^2\hbar^2} < (N + 1)^2.$$

Explain why the penetration depths for the ground state  $\psi_1(x)$  (with energy  $E_1$ ) and the first excited state  $\psi_2(x)$  (with energy  $E_2$ ) then must be much smaller than the length  $a$ . Explain also why the energy  $E_2$  is approximately four times as large as  $E_1$ . [Hint: Find the form of  $\psi_1(x)$  and  $\psi_2(x)$  inside the well, and make rough sketches of the two functions, for all  $x$ .]

d. Suppose now that the potential above is modified as shown in the figure below:

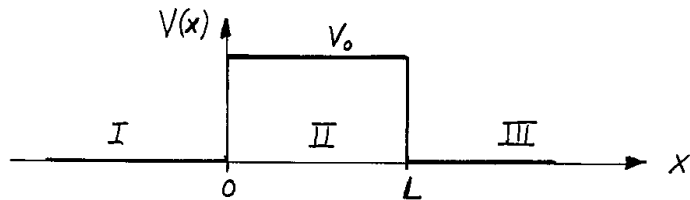
$$V(x) = \begin{cases} 0 & \text{for } \frac{1}{2}b < |x| < a + \frac{1}{2}b, \\ V_0 & \text{otherwise.} \end{cases}$$



If  $b$  is chosen small compared to the penetration depths (into the regions  $|x| > a + \frac{1}{2}b$ ), the energies  $E_1$  and  $E_2$  will differ *only slightly* from their values for  $b = 0$ . In what *directions* are  $E_1$  and  $E_2$  changed? [Hint: Try and sketch  $\psi_1$  and  $\psi_2$ , starting from the curvature properties, particularly in the region  $|x| < \frac{1}{2}b$ .]

e. Sketch the two eigenfunctions  $\psi_1$  and  $\psi_2$  for the case where  $b$  is much *larger* than the penetration depths, and state what happens with the two energies in this case.

## Question 2



In this one-dimensional problem a stream of particles with mass  $m$  and energy  $E = \hbar^2 k^2 / 2m$  is scattered on the potential

$$V(x) = \begin{cases} 0 & \text{for } x < 0 \text{ and } x > L, \\ V_0 & \text{for } 0 < x < L. \end{cases}$$

Region II ( $0 < x < L$ ) constitutes a potential *barrier* or a potential *well*, depending on whether  $V_0$  is positive or negative. This problem can be treated by the use of an energy eigenfunction  $\psi_E(x)$  which has the form

$$\psi_I(x) = e^{ikx} + r e^{-ikx} \quad \text{for } x < 0,$$

and

$$\psi_{III}(x) = t e^{ikx} \quad \text{for } x > L.$$

Here,  $r$  and  $t$  are complex coefficients.

**a.** Calculate the probability current density  $j_{III}$  in region III ( $x > L$ ) expressed in terms of the complex coefficient  $t$ . Calculate also the current density  $j_I$  in region I ( $x < 0$ ), in terms of the coefficient  $r$ . Show that  $j_I = j_i + j_r$ . Here,  $j_i$  is the current density that would be obtained from the incoming wave  $\exp(ikx) \equiv \psi_i$  alone, and  $j_r$  is the current density that would be obtained from the reflected wave  $r \exp(-ikx) \equiv \psi_r$  alone.

**b.** Since the wave function  $\Psi_E(x, t) = \psi_E(x) \exp(-iEt/\hbar)$  is stationary, there can be no accumulation of probability anywhere. What can you say about the relation between  $j_I$  and  $j_{III}$ ? What can you say about the current density  $j_{II}$  in region II ( $0 < x < L$ )? What are the probabilities  $T$  and  $R$  for transmission and reflection (expressed in terms of  $t$  and  $r$ )?

**c.** It can be shown that

$$t = e^{-ikL} \frac{2kq}{2kq \cos qL - i(k^2 + q^2) \sin qL},$$

where

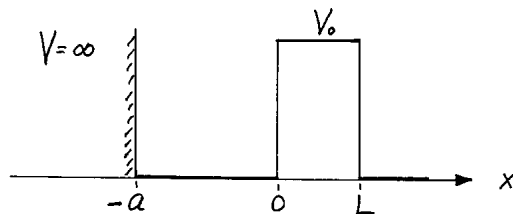
$$q = \begin{cases} \sqrt{2m(E - V_0)/\hbar^2} & \text{for } E > V_0, \\ i\sqrt{2m(V_0 - E)/\hbar^2} \equiv i\kappa & \text{for } E < V_0. \end{cases}$$

Use this to show that the probability of transmission is

$$T = \frac{4E(E - V_0)}{4E(E - V_0) + V_0^2 \sin^2 qL}.$$

Verify that the result for  $T$  is in agreement with classical mechanics in the limit  $E/|V_0| \rightarrow \infty$ . Complete transmission can also be obtained under other conditions. What are these conditions?

**d.** In the figure below, the potential above (with  $V_0 > 0$ ) has been modified, with a hard wall a distance  $a$  away from the barrier.



Suppose that

$$V_0 = \frac{5\hbar^2}{8m_e a_0^2}, \quad L = 5a_0 \quad \text{and} \quad a = 2\pi a_0,$$

where  $a_0$  is the Bohr radius. Suppose also that an electron with mass  $m_e$  is captured between the wall and the barrier, in a state which can at  $t = 0$  be characterized by an energy and a wave function given approximately by

$$E = \frac{\hbar^2 k^2}{2m_e}; \quad k \approx \frac{\pi}{a}; \quad \Psi(x, 0) \approx \begin{cases} \sqrt{\frac{2}{a}} \sin[k(x + a)] & \text{for } -a < x < 0, \\ 0 & \text{otherwise.} \end{cases}$$

The width of the barrier is  $5a_0$ . Semiclassically, we can calculate a velocity  $v = \sqrt{2E/m_e}$  and a collision frequency  $\nu = v/2a$  with the barrier. How long time  $\tau$  does it take before the probability to find the electron still captured is reduced from 1 to  $1/e$ ? [Hint: The transmission probability for each collision with the wall is given by the formula above, with  $q = i\kappa$ , that is,  $\sin qL = \sin i\kappa L = i \sinh \kappa L$ . Note that  $\ln(1 - T) \approx -T$  for  $T \ll 1$ .]

### Question 3

A particle with mass  $m$  is bound in a spherical-well potential

$$V(r) = \begin{cases} 0 & \text{for } r < a, \\ V_0 & \text{for } r > a. \end{cases}$$

To simplify the calculations we assume that  $V_0$  is infinite, such that the potential constitutes a spherical box.

The simultaneous eigenfunctions of the Hamiltonian  $\hat{H}$  and the angular-momentum operators  $\hat{\mathbf{L}}^2$  and  $\hat{L}_z$  can be written on the form

$$\psi_{nlm_l}(r, \theta, \phi) = \frac{u_{nl}(r)}{r} Y_{lm_l}(\theta, \phi),$$

where

$$\hat{\mathbf{L}}^2 Y_{lm_l} = \hbar^2 l(l+1) Y_{lm_l} \quad \text{and} \quad \hat{L}_z Y_{lm_l} = \hbar m_l Y_{lm_l},$$

and

$$\left[ -\frac{\hbar^2}{2m} \frac{d^2}{dr^2} + \frac{\hbar^2 l(l+1)}{2mr^2} \right] u_{nl}(r) = E_{nl} u_{nl}(r), \quad (0 \leq r < a).$$

It can be shown that the acceptable solutions of the radial equation behave as  $u_{nl}(r) \sim r^{l+1}$  when  $r \rightarrow 0$ . The quantum number  $n$  in this problem gives the number of zeros for the function  $u_{nl}(r)$ , counting the zero for  $r = a$ , but not the zero at the origin.

**a.** Which conditions must be satisfied by a set of operators, in order that these operators have a set of simultaneous eigenfunctions (as is the case for  $\hat{H}$ ,  $\hat{\mathbf{L}}^2$  and  $\hat{L}_z$ )?

How many angular functions  $Y_{lm_l}$  does one find for a given angular-momentum quantum number  $l$ ?

How can it be seen (from the equations above) that the energy eigenvalues ( $E_{nl}$ ) in this problem are independent of the quantum number  $m_l$ ?

Argue that  $u_{nl}(r)$  must be equal to zero for  $r = a$ . Show that  $\psi_{nlm_l}(r, \theta, \phi)$  is normalized, provided that  $u_{nl}(r)$  and  $Y_{lm_l}(\theta, \phi)$  satisfy the conditions

$$\int_0^a [u_{nl}(r)]^2 dr = 1 \quad \text{and} \quad \int |Y_{lm_l}(\theta, \phi)|^2 d\Omega = 1.$$

**b.** Find the normalized *s*-wave solutions  $u_{n0}(r)$  and the corresponding eigenfunctions  $\psi_{n00}$ , together with the energies  $E_{n0}$ .

**c.** Make a rough sketch of the potential well, together with the centrifugal barrier  $\hbar^2 l(l+1)/2mr^2$  which enters the radial equation, for two  $l$ -values,  $l = 1$  and  $l = 2$ . Based on this, if we keep  $n$  fixed and let  $l$  vary, which value of  $l$  must be expected to give the lowest energy, the next to the lowest, etc? (Give the order of these energies.)

What order must one expect for the energies  $E_{nl}$  for a fixed value of  $l$  and the various values of  $n$ ?

What combination of  $n$  and  $l$  must be expected for the ground state?

**d.** The results under **c** can be checked (to a limited extent) by solving the radial equation for  $l = 1$ , which takes the form

$$\frac{d^2u}{dr^2} - \frac{2}{r^2} + k^2 u = 0, \quad \text{with } k \equiv \frac{1}{\hbar} \sqrt{2mE}.$$

It is easy to check that this equation is satisfied by

$$u_a = \frac{\sin kr}{kr} - \cos kr \quad \text{and} \quad u_b = -\frac{\cos kr}{kr} - \sin kr.$$

(You are not supposed to show this.) Show that only one of these solutions has the small- $r$  behaviour that is required for  $u(r)$ .

Show that the function with the correct small- $r$  behaviour gives an acceptable solution for  $u(r)$  for each value of  $k$  that satisfies the condition

$$\tan ka = ka.$$

**e.** Make an attempt, on the basis of the results in **c** and **d**, to find an approximate result for the first excited energy level for this spherical box.

## **Attachment: Formulae and expressions**

Some of the formulae below may turn out to be useful.

### **Probability current density**

$$j_x(x, t) = \mathcal{R}e \left[ \Psi^*(x, t) \frac{\hbar}{im} \frac{\partial}{\partial x} \Psi(x, t) \right].$$

### **Laplacian in spherical coordinates. Angular-momentum operators**

$$\begin{aligned} \nabla^2 &= \frac{\partial^2}{\partial r^2} + \frac{2}{r} \frac{\partial}{\partial r} - \frac{\hat{\mathbf{L}}^2}{\hbar^2 r^2}, & \hat{\mathbf{L}}^2 &= -\hbar^2 \left( \frac{\partial^2}{\partial \theta^2} + \cot \theta \frac{\partial}{\partial \theta} + \frac{1}{\sin^2 \theta} \frac{\partial^2}{\partial \phi^2} \right), \\ \hat{L}_x &= \frac{\hbar}{i} \left( -\sin \phi \frac{\partial}{\partial \theta} - \cot \theta \cos \phi \frac{\partial}{\partial \phi} \right), & \hat{L}_y &= \frac{\hbar}{i} \left( \cos \phi \frac{\partial}{\partial \theta} - \cot \theta \sin \phi \frac{\partial}{\partial \phi} \right), & \hat{L}_z &= \frac{\hbar}{i} \frac{\partial}{\partial \phi}, \\ [\hat{\mathbf{L}}^2, \hat{L}_i] &= 0 \quad (i = x, y, z), & [\hat{L}_x, \hat{L}_y] &= i\hbar \hat{L}_z, & \text{etc.} \end{aligned}$$

### **Spherical harmonics**

$$\begin{aligned} \left\{ \begin{array}{c} \hat{\mathbf{L}}^2 \\ \hat{L}_z \end{array} \right\} Y_{lm} &= \left\{ \begin{array}{c} \hbar^2 l(l+1) \\ \hbar m \end{array} \right\} Y_{lm}; & \int Y_{l'm'}^* Y_{lm} d\Omega &= \delta_{ll'} \delta_{m'm}; \\ Y_{00} &= \sqrt{\frac{1}{4\pi}}, & Y_{10} &= \sqrt{\frac{3}{4\pi}} \cos \theta, & Y_{1,\pm 1} &= \mp \sqrt{\frac{3}{8\pi}} \sin \theta e^{\pm i\phi}. \end{aligned}$$

### **Some physical constants**

$$\begin{aligned} a_0 &\equiv \frac{4\pi\epsilon_0\hbar^2}{m_e e^2} = \frac{1}{\alpha} \frac{\hbar}{m_e c} = 0.529 \times 10^{-10} \text{m}; & \alpha &\equiv \frac{e^2}{4\pi\epsilon_0\hbar c} = \frac{1}{137.036}; \\ c &= 2.998 \times 10^8 \text{m/s}; & \hbar &= 0.6582 \times 10^{-15} \text{eVs}; & m_e &= 0.5110 \text{ MeV/c}^2. \end{aligned}$$

### **Additional mathematical formulae**

$$\begin{aligned} \sin(ix) &= i \sinh x; & \sinh x &= \frac{1}{2}(e^x - e^{-x}); & \cosh x &= \frac{1}{2}(e^x + e^{-x}); \\ \sin x &= x - x^3/3! + x^5/5! + \mathcal{O}(x^7); & \cos x &= 1 - x^2/2! + x^4/4! - \mathcal{O}(x^6); \\ d^3r &= r^2 dr \sin \theta d\theta d\phi. \end{aligned}$$